

竹中工務店(元名工大学部生)正員 古川一吉  
 名古屋工業大学 正員 松岡元  
 正員 中井照夫

これまでに土の応力・変形挙動が、空間滑動面(SMP)上で整理すれば統一的に規定されることを、多くの実験データによって検証してきた。しかし、提案している応力・ひずみ関係式は、クリープや応力緩和などの時間効果については考慮していない。そこで、過剰荷重を水圧の消散時間が無視できることを試料として、平均主応力一定条件下でクリープ試験を行ない、SMP上で解析することによって1つの応力・ひずみ・時間関係式を導いた。

まず、三軸圧縮条件下的SMP上の応力、ひずみと主応力、主ひずみの関係およびSMP上の応力・ひずみ間の基本関係式を列挙すれば次の通りである。

$$\sigma_{SMP}/\sigma_{SMP} = (\sqrt{2}/3) \cdot (\sqrt{\sigma_1/\sigma_3} - \sqrt{\sigma_3/\sigma_1}) \quad (1)$$

$$d\epsilon_{SMP} = (20_i \cdot d\epsilon_3 + 0_3 \cdot d\epsilon_1) / (20_i + 0_3) \quad (2)$$

$$d\delta_{SMP} = 2\sqrt{2}\sqrt{\sigma_1\sigma_3} (d\epsilon_1 - d\epsilon_3) / (20_i + 0_3) \quad (3)$$

$$\tau_{SMP}/\sigma_{SMP} = \lambda \cdot (-d\epsilon_{SMP}/d\delta_{SMP}) + \mu \quad (4)$$

$$\tau_{SMP}/\sigma_{SMP} = \lambda \cdot (-\epsilon_{SMP}/\delta_{SMP}) + \mu' \quad (5)$$

$$\tau_{SMP}/\sigma_{SMP} = (\mu' - \mu) \ln \frac{\delta_{SMP}}{\delta_0} + \mu \quad (6)$$

$$\epsilon_{SMP} = \frac{\mu - \mu'}{\lambda} \delta_{SMP} (\ln \frac{\delta_{SMP}}{\delta_0} - 1) \quad (7)$$

なお、式(4)、(5)、(6)、(7)の中の入、 $\mu$ 、 $\mu'$ 、 $\delta_0$ は土質パラメータである。

豊浦砂を試料として、平均主応力のm一定条件下で主応力比の $\sigma_3/\sigma_1 \equiv R$ を段階的に変えたクリープ試験を行なった。その主ひずみ $\epsilon_1$ 、 $\epsilon_3$ ～時間 $t$ 関係の一例を図-1、2に示す。また、これらをSMP上のせん断ひずみ $\epsilon_{SMP}$ 、垂直ひずみ $\delta_{SMP}$ ～時間 $t$ 関係に変換した結果を図-3、4に示す。これらの図より、初期に時間に無関係な即時ひずみ(Instantaneous Strain)が生じ、その後 $\log t$ に比例するひずみ(クリープひずみ; Creep Strain)が発生するのがうかがわれる。図-5、6は $t = t_i (= 0.1 \text{ min. とする})$ および $t = t_\infty$ における $\frac{\tau_{SMP}}{\sigma_{SMP}} \sim \frac{d\epsilon_{SMP}}{d\delta_{SMP}}$ 関係、 $\frac{\tau_{SMP}}{\sigma_{SMP}} \sim \frac{\epsilon_{SMP}}{\delta_{SMP}}$ 関係を示している(添字iは即時を、 $\infty$ は十分長時間を意味する)。これらの図より、土質パラメータ(入、 $\mu$ 、 $\mu'$ )が $t = t_i$ と $t = t_\infty$ においてほとんど変化しないのがみられる。したがって、残るパラメータ $\delta_0$ が、 $t = t_i$ と $t = t_\infty$ の間に変化すると想像される( $\delta_0i$ から $\delta_0\infty$ まで)。

さて、任意時刻のひずみは即時ひずみとクリープひずみの和で与えられ、クリープひずみが $\log t$ に比例するものとすると、

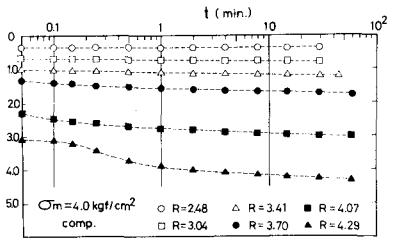


図-1 主応力比Rを段階的に上げた場合の最大主ひずみ $\epsilon_1$ ～時間 $t$ 関係

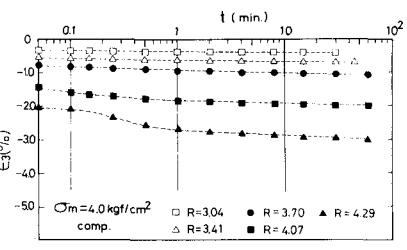


図-2 主応力比Rを段階的に上げた場合の最小主ひずみ $\epsilon_3$ ～時間 $t$ 関係

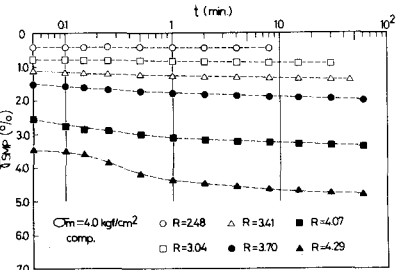


図-3 主応力比Rを段階的に上げた場合のSMP上のせん断ひずみ $\epsilon_{SMP}$ ～時間 $t$ 関係

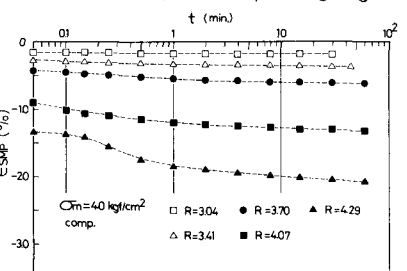


図-4 主応力比Rを段階的に上げた場合のSMP上の垂直ひずみ $\delta_{SMP}$ ～時間 $t$ 関係

$$\delta_{SMP} = \delta_{SMP,i} + \alpha (\log t - \log t_i) \quad (\alpha: \text{比例係数}) \quad (8)$$

$t = t_\infty$  のときの  $\delta_{SMP} = \delta_{SMP,\infty}$  とすると、 $\alpha$  は次式で与えられる。

$$\alpha = (\delta_{SMP,\infty} - \delta_{SMP,i}) / \log \frac{t_\infty}{t_i} = (\delta_{0,\infty} - \delta_{0,i}) \exp \left( \frac{X-\mu}{\mu-\mu'} \right) / \log \frac{t_\infty}{t_i} \quad (9)$$

ここに、 $X \equiv \tau_{SMP}/\delta_{SMP}$  である。式(9)を式(8)に代入して整理すれば

$$\delta_{SMP} = \delta_{0,i} \cdot \exp \left( \frac{X-\mu}{\mu-\mu'} \right) \quad (10)$$

$$\epsilon_{SMP} = \frac{\mu-\mu'}{\lambda} \delta_{SMP} \left( \ln \frac{\delta_{SMP}}{\delta_{0,i}} - 1 \right) = \delta_{0,i} \cdot \frac{\mu'-X}{\lambda} \exp \left( \frac{X-\mu}{\mu-\mu'} \right) \quad (11)$$

$$\text{ここに}, \delta_{0,i} = \delta_{0,i} + \frac{\log(t/t_i)}{\log(t_\infty/t_i)} \cdot (\delta_{0,\infty} - \delta_{0,i}) \quad (12)$$

式(10),(11)は、応力比が一定の場合にひずみが時間とともに進行する

というクリープ現象の表現式にあたっている。式(10)を  $X$  について解くと

$$\frac{\tau_{SMP}}{\delta_{SMP}} = (\mu' - \mu) \ln \frac{\delta_{SMP}}{\delta_{0,i}} + \mu \quad (13)$$

式(13)はひずみが一定の場合に応力比が時間とともに低下するという応力緩和現象の表現式になっている。なお、三軸圧縮条件下における SMP 上のひずみ増分の主ひずみ増分への変換は次式で与えられる。

$$d\epsilon_1 = d\epsilon_{SMP} + \sqrt{2/\beta_3} \cdot \frac{d\delta_{SMP}}{2} \quad (14)$$

$$d\epsilon_3 = d\epsilon_{SMP} - \frac{1}{\sqrt{2/\beta_3}} \cdot \frac{d\delta_{SMP}}{2} \quad (15)$$

ここで、土質パラメータを  $\lambda = 1.0$ ,  $\mu = 0.20$ ,  $\mu' = 0.35$  (図-5, 6 参照),  $\delta_{0,i} = 0.075\%$ ,  $\delta_{0,\infty} = 0.10\%$  として、式(10)～(12)により算定した計算値と実測値の比較を図-7 に示す。また、式(14)(15)を用いて応力比～主ひずみ関係に変換した結果を図-8 に示す。

なお、図-7, 8 は応力比を段階的に上げた場合の結果であるが、もし一度に大きな応力比を載荷するはどうなるであろうか。実験結果によると応力比の上げ幅の大小にかかわらず、同じ応力比であればひずみの  $\log t$  に対する傾きはほぼ同一となるようである。このことは、同一の試料の場合、ある応力比に対する最終ひずみ ( $t=t_\infty$  でのひずみ) は同じと考えられるので、応力比に対応して即時ひずみ、クリープひずみがユニットに規定されることを意味している。それでは、1つ前の載荷段階(より1段階)での最終ひずみが、より1段階の  $\delta_{SMP,\infty}$  より段階での即時ひずみよりも大きい場合(より1段階の  $\delta_{SMP,\infty}$  よりより1段階の  $\delta_{SMP,\infty}$ )には、より1段階への載荷によって即時ひずみは発生せず、全てクリープひずみになるのであるか。実験結果によれば、上記のような場合には即時ひずみがあまり発生しないことが確かめられている。そして、この場合にはひずみの出方が、図-1 の  $R=4.29$  の場合のように初めのうち  $\log t$  に対して逆 S 字形に進行するという実験結果が得られている。<sup>2)</sup>

SMP 上の整理によれば、相異なる 3 主応力下の土の応力・ひずみ挙動が統一的に表現されるので、今後は三軸圧縮条件のみならず、三軸伸張条件、平面ひずみ条件などでも検討していきたい。

謝辞 砂と粘土のクリープ特性について有益な助言をいただいた金沢大学 関口秀雄助教授に謝意を表します。

参考文献 1) 佐岡・中井(1977) : Proc. of Specialty Session 9, 9th Int. Conf.

SMFE, 2) 関口(1973) : S & F, Vol. 13, NO. 1.

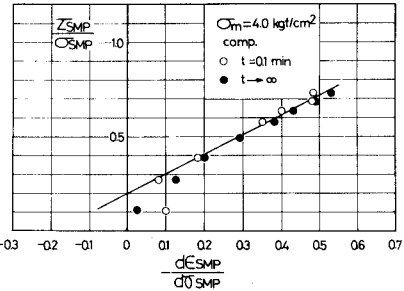


図-5.  $t=0.1$  min. および  $t \rightarrow \infty$  における  $\tau_{SMP}/\delta_{SMP} \sim -d\epsilon_{SMP}/d\delta_{SMP}$  関係。

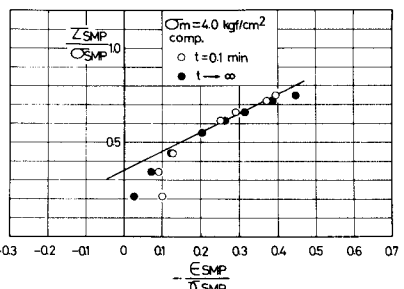


図-6.  $t=0.1$  min. および  $t \rightarrow \infty$  における  $\tau_{SMP}/\delta_{SMP} \sim -\epsilon_{SMP}/\delta_{SMP}$  関係。

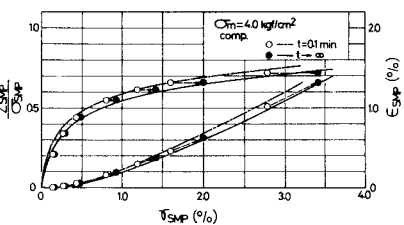


図-7.  $t=0.1$  min. および  $t \rightarrow \infty$  における  $\sigma_1/\delta_{SMP} \sim \delta_{SMP}, \epsilon_3 \sim \delta_{SMP}$  関係。

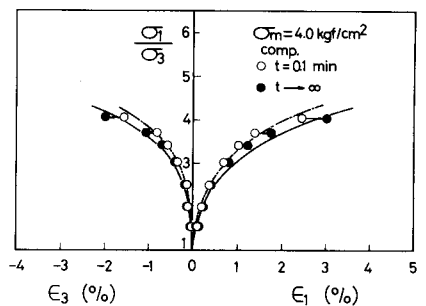


図-8.  $t=0.1$  min. および  $t \rightarrow \infty$  における 主応力比～主ひずみ関係